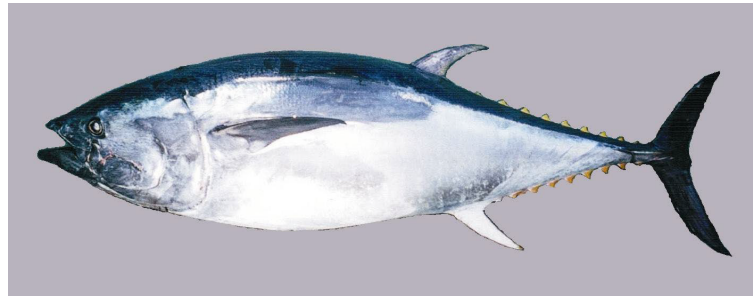


タイセイヨウクロマグロ 西大西洋

(Atlantic bluefin tuna *Thunnus thynnus*)



管理・関係機関

大西洋まぐろ類保存国際委員会 (ICCAT)

最近の動き

本資源を管理する ICCAT に報告された 2024 年の漁獲量は 2,961 トンであった。ICCAT の科学委員会 (SCRS) は、2021 年 9 月に資源評価を実施した。2021 年の SCRS は、本系群について、近年 (2018~2020 年) の漁獲死亡係数 (F) が、経験的に安全とされる管理基準値である $F_{0.1}$ を超えていないとし、現状は過剰漁獲ではないと判断した。しかしながら、SCRS は資源評価の不確実性の高さを認識しており、特に東西資源が西経 45 度線を跨って回遊することで、いずれの海域でも両方の資源が漁獲され得ることから、海域で区分した資源評価に基づく TAC の設定は問題視されていた。これらの懸念を踏まえて、東西の資源が混在して漁獲されたことを仮定する資源解析モデルを用いた管理戦略評価 (MSE) のシミュレーションテストによって、資源の安全性や漁獲量等に関して定められた管理目標を満たすよう、資源の状態に応じて TAC が計算される管理方式 (MP) を開発した。東西各海域 5 つずつの資源量指数を統合した指標の増減量から TAC を決定する MP が 2022 年 11 月の ICCAT 年次会合において採択された。2025 年の ICCAT 年次会合では本 MP の計算に基づいて 2026 年から 2028 年の TAC が設定される見込みであった。しかしながら、ICCAT 年次会合において、MP で算出される TAC の 120% まで TAC を増加させる措置 (SCRS では、頑健性テストの一つとして検証したもの) が合意された。結果として 3,081.6 トンを 2026~2028 年の TAC として採択した。日本の割り当ては 762.39 トンである。

利用・用途

ほぼ全てが刺身やすし用途に用いられている。

漁業の概要

主な漁業国は、直近 5 年の漁獲量の多い順に米国、カナダ及び日本であり、この 3 か国で漁獲の 95% 以上を占める。日本の漁獲は、全てはえ縄によるものであり、米国及びカナダではロッド&リールやハンドラインと呼ばれる釣り漁業が主体である。小型魚 (2~3 歳魚) を漁獲する漁業は米国のスポーツ

フィッシングのみで、他の漁業は全て中・大型魚を漁獲する。本種を対象とした日本のはえ縄漁業は、大西洋の熱帯域であるカリブ海からブラジル沖で 1963 年頃から開始され、多い時には年間 1 万トン以上漁獲していたが、数年間でこの漁場は消滅した。この漁場に分布していた魚群が大西洋の東西どちらの系群に属していたかは不明であるが、現在の水域区分では主に西大西洋となる。その後はメキシコ湾が主要な漁場となった。1970 年代の中頃からはニューヨークからカナダのニューファンドランド沖合 (北米沖) が漁場に加わり、1982 年にメキシコ湾での操業が禁止されて以来主要な漁場となっている (図 1)。一般的な漁期はメキシコ湾が 1~5 月、北米沖が 11~3 月である。米国の漁期は主に 7~11 月で、カナダの漁期は 8~11 月である。日本の漁期は 11 月から翌 3 月であったが、2009 年の個別割当制度 (IQ) 導入ののち徐々に早まり、9 月頃から始まる操業もあったが、近年は 10 月から操業を開始し、翌 1 月頃まで続く。

漁獲量は、1981 年までは 5,000 トン前後の水準にあったが、1982 年に厳しい漁獲規制が導入され、1983 年以降は 2000 年代半ばまで 2,500 トン前後となっている (図 2)。1982 年以降では、2002 年に最大の 3,319 トンに達した後、1,800 トン前後で推移し、2013 年には最低水準 (1,482 トン) を記録した。2015 から 2017 年の TAC は 2,000 トン (日本は 346 トン) に設定され (ICCAT 2015、2017)、2018 から 2020 年の TAC は

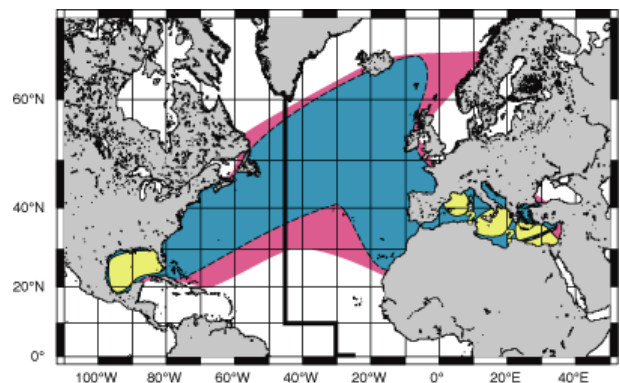


図 1. タイセイヨウクロマグロの分布域 (赤) と主要漁場 (青)、産卵場 (黄)
索餌場は産卵場を除く分布域。縦太線は東西の系群の境界。

2,350 トンに増枠された(日本は 407.48 トン) (ICCAT 2018)。2022 年は 2021 年に実施された資源評価やその時点での資源量指数等を確認の結果、資源量が増加傾向にあると認められたため、TAC は 2,726 トン(日本は 664.52 トン)と再び増枠された (ICCAT 2023a)。2024 年は管理戦略評価 (MSE) によって定められた管理方式 (MP) から、TAC は引き続き 2,726 トンと設定された一方で、実際の総漁獲量は 2,961 トン (ICCAT 2025) と 8.6%の超過が確認された。2000 年代中盤から、いずれの漁業国も安定的に漁獲しており、2015 年以降の TAC 増加に伴って、最近年の漁獲量は増加傾向にある。日本の漁獲量も安定的だが、2003 年に前年までの漁獲枠超過分の調整として 57 トンに一時的に減少し、それ以降は 350 トン前後で推移している。TAC が増枠された 2018~2021 年の漁獲量は 406~410 トン、さらに増枠された 2022 年は 658 トン、2023 年は 625 トン、2024 年は 693 トンとなっており、勧告で認められている 10%までの前年分未利用分の繰越を活用しながら割り当てられた TAC をほぼ全て消化している。なお、日本は漁獲枠管理に、8 月から翌 7 月の漁期年を用いていることから、ここに表記した漁獲量も漁期年での集計である。

生物学的特性

西系群の成長は、2017 年の SCRS (ICCAT 2017) において、標識放流調査や耳石の年齢査定結果を総合的に解析して Richards 型の成長曲線が求められており、これを資源評価に用いている (Ailloud *et al.* 2017)。体長体重関係式 (Parrack and Phares 1979) は、2015 年の SCRS において、主要な漁業国の科学オブザーバーによる 14 万個体以上の膨大なデータから推定したものを使用している。雌雄を区別しない成長曲線と各年齢の体長(尾叉長)及び体重(全重量)を図 3 に示す。各関係式は以下のとおりである。

$$L_t = \left[L_1^p + (L_2^p - L_1^p) \frac{1 - e^{-K(L - A_1)}}{1 - e^{-K(A_2 - A_1)}} \right]^{1/p} \quad (\text{Ailloud } et al. 2017)$$

$$A_1 = 0, A_2 = 34,$$

$$L_1 = 33, L_2 = 270.6$$

$$K = 0.22, p = -0.12$$

$$\text{体重} = 0.0000177054 \times \text{体長}^{3.001252}$$

(Rodriguez-Marin *et al.* 2015)

漁獲物の最大体長は 330 cm、最大体重は 725 kg、最高年齢は約 40 歳である。本系群は、大型個体では性比に偏りがみられ、尾叉長 255 cm 以上の個体の 60~70%程度が雄である (Maguire and Hurlbut 1984)。本種の卵は分離浮性卵で、受精卵の直径は約 1 mm である。主な産卵場はメキシコ湾にあると考えられており、5~6 月が産卵期である。成熟年齢に関する生物学的知見は不足しており、生殖腺と硬組織を用いた正確な成熟年齢の調査の必要性が指摘されている。一方で、Slope sea と呼ばれる米国北東沖において 5 歳の成熟魚が分布することや (Knapp *et al.* 2013)、同海域における本種の産卵時特有の回遊行動 (Aalto *et al.* 2023)、仔魚の発見 (Richardson *et al.* 2016) が報告され、西系群の成熟年齢が想定よりも早い可能性

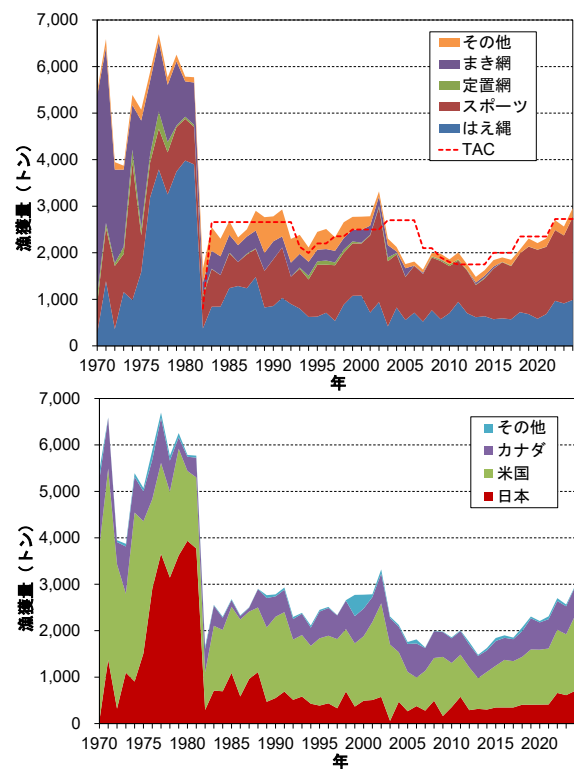


図 2. タイセイヨウクロマグロ (西系群) の年別漁法別漁獲量 (上) と年別国別漁獲量 (下) (1970~2024 年、ICCAT 2025) 漁獲量には投棄分も含まれる。

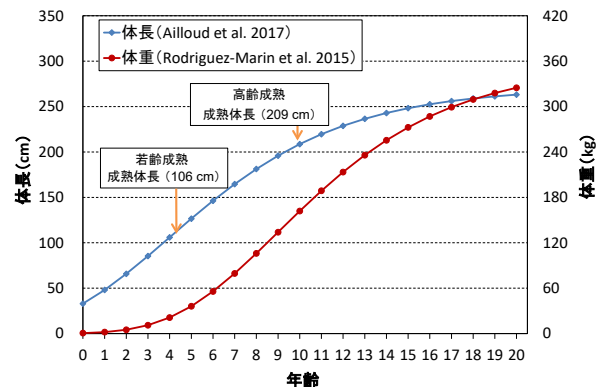


図 3. タイセイヨウクロマグロ (西系群) の年齢あたりの体長と体重
青は 2020 年の資源評価で更新された成長曲線、図中の矢印は成熟体長(若齢成熟または高齢成熟)を表す。赤は体重曲線を示す。

が示唆された。また、同海域で孵化した仔魚の成長速度は、メキシコ湾生まれの仔魚との間に有意差が無く、資源への加入に貢献している可能性も報告されている (Hernandez *et al.* 2021)。産卵数は、体長 200~250 cm の成魚で約 3,400 万粒と報告されている (Rodriguez-Roda 1967)。本種は温帯域を中心に北大西洋全域に広く分布し、他のマグロ類に比べてやや沿岸性が強い (ICCAT 2003)。なお現行の資源評価では、高齢で成熟する場合(メキシコ湾の漁獲物から計算、7 歳で成熟開始、11 歳で 56%、14 歳以降 100%)に加え、東系群と同じ設定である若齢(3 歳で成熟開始、4 歳で 50%、5 歳以降 100%)で成熟する場合も仮定している (Tsukahara *et al.* 2021)。

メキシコ湾で孵化した稚魚は、成長しながら沿岸に沿って北へ移動し、夏にはコッド岬あたりに達する。その後、北米沿岸からやや沖合域に分布し、冬期には南下（南限はおおよそ北緯30度）、夏期には北上する（北限は北緯50度）。標識放流の結果から一部個体が、東大西洋（ヨーロッパ沿岸、ノルウェー沖合）・地中海へ渡洋回遊することが知られている。アーカイバルタグ、ポップアップタグ等の電子標識を用いた移動・回遊行動の研究により、従来考えられていたよりも東西の移動が頻繁に生じていることが示されているが、正確な移動率の算出には至っていない（ICCAT 2002）。

SCRS は当時知見が限られていた東西系群の存在について、1系群及び2系群の両方の仮説を仮定した資源状態を検証し、いずれの場合も西側海域の資源に悪い傾向がみられたと報告した。それを受けて、ICCAT 年次会合で1982年から西経45度以西の漁獲量規制を入れたことをきっかけに、本種は西経45度線で東西2つの区域に分けて管理されてきた（ICCAT 1981）。しかしながら、1990年代以降に行われた通常標識や電子標識の放流再捕結果から、東西系群は北大西洋において混合して広く回遊を行うことが示された（Block *et al.* 2005）。また、ポリ塩化ビフェニル（PCB）の体内含有量を指標として用いた研究により、地中海生まれの東系群が2~3歳までに米国東岸へ回遊することが明らかになった（Dickhut *et al.* 2009）。耳石の酸素安定同位体比を用いた研究に基づき、地中海で漁獲された本種の大型魚はほぼ全て東系群であった一方、西系群の漁場とされる米国東岸沖の索餌場で漁獲された未成魚（69~119 cm）の62%は地中海生まれの東系群であり、大型魚（>250 cm）はほぼ全てがメキシコ湾生まれの西系群であったこと（ICCAT 2011）、さらにそれらの混合率は年変動していることが報告されている（Rooker *et al.* 2019）。また、遺伝情報を用いた研究では、西側海域に東系群の個体が多く回遊しており

（Rodríguez-Ezpeleta *et al.* 2019）、2010年以降に北西大西洋の海域で漁獲された個体の約50%が東系群であると示された（Puncher *et al.* 2021）。さらには、耳石の酸素安定同位体比と遺伝情報を統合して解析する手法が提案され、個体ごとの系群判別手法の高度化が検討されている（Brophy *et al.* 2020）。これらの結果は、本種が現行の系群境界である西経45度線を越えて移動し、東西それぞれの海域の漁獲物に、両系群の魚が含まれていることを示している。西経45度で東西2つの系群に分けて管理する現在の方法の改善には、系群の混合率の継続的なモニタリング及びこれを考慮した系群別の資源量の推定と管理手法の開発が必要とされる。

本系群の胃内容物には魚類や甲殻類、頭足類等の幅広い種類の生物が見られ、特定の餌料に対する嗜好性はないようである（Eggleston and Bochenek 1990、Chase 2002、Logan *et al.* 2011）。中でもタイセイヨウニシンが餌として重要で、その資源量や体長組成の変動が本種の分布や肥満度に影響している可能性が指摘されている（Golet *et al.* 2015）。仔稚魚期には、魚類に限らず多くの捕食者がいるものと思われるが、あまり情報は得られていない。遊泳力がついた後も、マグロ類を含む肉食性の大型浮魚類により捕食されるが、体長50 cm以上に成長すると、捕食者は大型のカジキ類、サメ類、歯鯨類に限られるものと思われる（Guinet *et al.* 2007）。

資源状態

本系群の資源評価は、SCRSにおいて、加盟国の研究者の共同作業で実施される。生まれ海域が異なる東西の系群を分けて資源量を推定する方法は確立されておらず、西経45度線を境としてそれぞれの海域の資源量を推定している。2021年9月に実施された最新の資源評価では、資源解析モデルの設定変更を最小限に留めつつ、入力データに資源量指数の推定手法の高

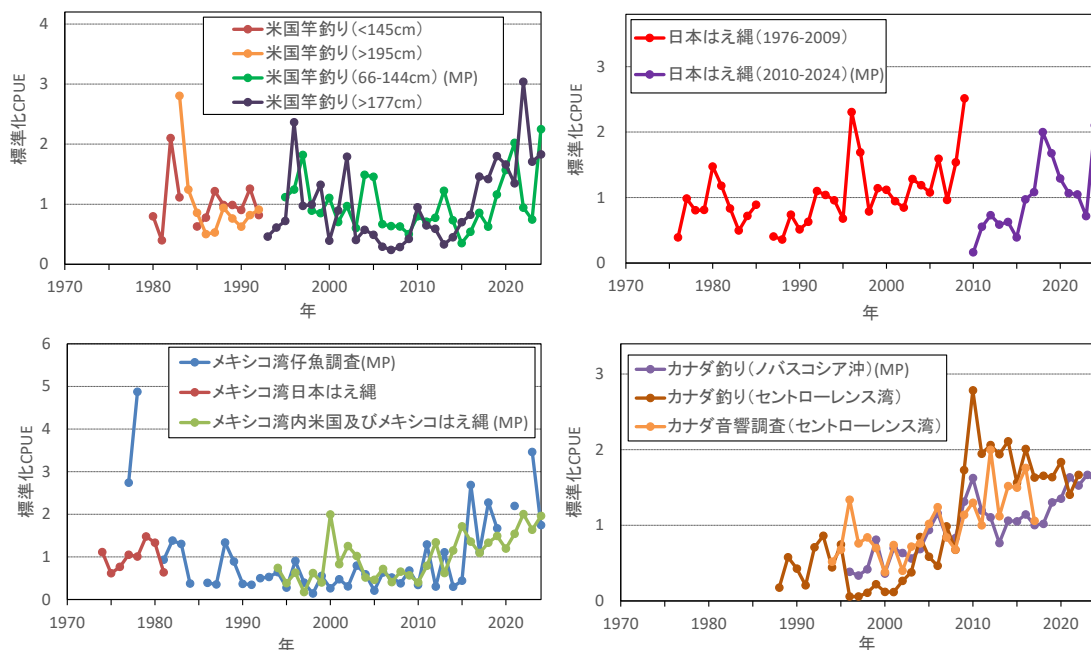


図4. 管理方策（MP）に用いているタイセイヨウクロマグロ（西系群）の主な資源量指標（1970~2024年、ICCAT 2025）それぞれの時系列データの平均を1としてスケール化した指標を示す。（MP）と付記している指数は現在TACの計算に用いている。最新の資源評価（2021年）には2021年までのデータが用いられた。

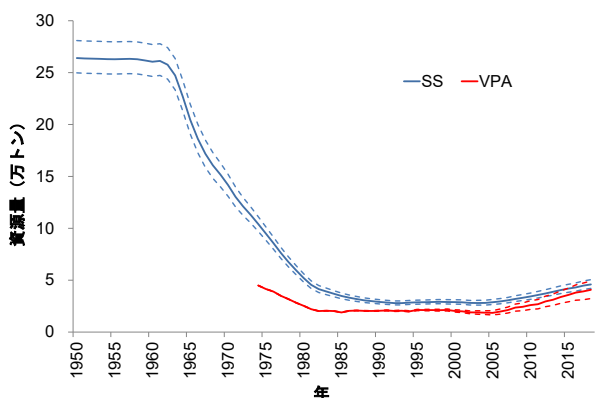


図5. タイセイヨウクロマグロ（西系群）の資源量の推移（1950～2020年、ICCAT 2022）
2021年資源評価での推定総資源量（全年齢の魚）。青はSS3、赤はADAPT VPAの結果を示す。上下の点線間は80%信頼範囲。

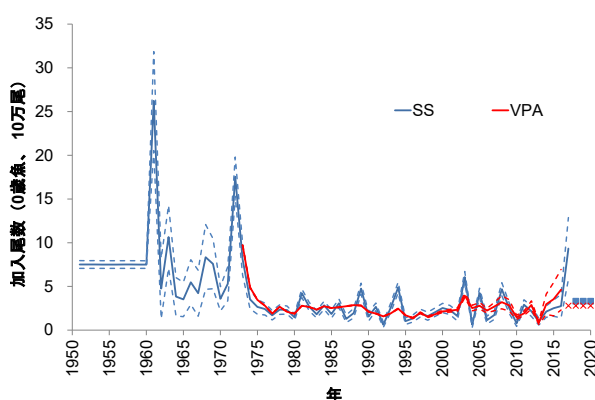


図6. タイセイヨウクロマグロ（西系群）の加入尾数（1歳魚）の推移（1950～2020年、ICCAT 2022）
2021年資源評価での推定加入尾数。青はSS3、赤はADAPT VPAの結果を示す。上下の点線間は80%信頼範囲。
SS及びVPAの点で示している近年は、加入量推定の不確実性が高いとして平均値で代替。

度を反映し、用いるデータを最近年まで更新する形で実施された。

最大持続生産量 (MSY) に基づく管理基準値 (B_{MSY} , F_{MSY}) の推定には、自然死亡係数等の生物学的パラメータに加え、将来の長期的な加入量の設定が必要である。将来の加入量には多くの場合、種固有の再生産関係式が使用される。しかし、本種の資源評価では、1974年前後で加入レベルが大きく異なること等の課題があり、管理基準値の計算の基として信頼に値する再生産関係を求めるに至っていない。また、資源量推定の不確実性の高さも懸念されていることから資源量に関する管理基準値の評価は行わず、再生産関係を必要としない $F_{0.1}$ を F_{MSY} の代替値として漁獲圧の管理基準値として使用している。

資源解析には前回評価（2020年実施）と同様に ADAPT VPA と統合モデル (Stock Synthesis 3 : SS3) の2つの資源解析手法が用いられた。米国&メキシコはえ縄（メキシコ湾）、米国ロッド&リール（小型魚、大型魚）、カナダ釣り（セントローレンス湾、ノバスコシア州南西沖）の5つの漁業の CPUE データの作成手法及び標準化手法が変更された。ADAPT VPA による資源評価では、年齢別漁獲尾数（1～16歳）と、図4に示

す資源量指数を入力データとし、ICCAT 公認プログラムである VPA-2BOX (Porch 2003) を用いて 1974 年から 2020 年までの資源動態を解析した。SS3 による資源評価では、漁獲量、漁獲物の体長組成、体長別年齢組成データ、及び図4に示す資源量指数を入力データとし、ICCAT 公認プログラムである SS Version 3.30 (Methot and Wetzel 2013) を用いて解析した。しかしながら、ADAPT VPA では資源解析モデルの診断結果において許容されない瑕疵があったため、この資源解析結果を資源状態の評価及び将来予測のために用いないことで合意した。また、独立専門家による資源解析モデルの外部レビューにより、SS3 についてもその将来予測結果を元に TAC を勧告すべきではないとのレビュー結果が示された。これらを受けて SCRS は、2021 年資源評価には SS3 を用いた資源解析結果のみをベースケースとして採用し、将来予測の結果も示した上で、これらの結果の不確実性の高さに留意することを勧告した。

推定された資源量と加入尾数（1歳魚）をそれぞれ図5と図6に示す (ICCAT 2022)。前述のとおり、ADAPT VPA の結果は資源状態の評価には使われていないが、これも参考として示す。総資源量は 1980 年代後半まで大幅に減少し 1990 年に約 2.9 万トンとなり、2000 年代半ばまで横ばいで推移したあと、2005 年頃からゆるやかな増加に転じ、2020 年には約 4.8 万トンとなった。直近 10 年の加入量に関しては、前回資源評価と比べて高く推定されたが、これは米国ロッド&リール（小型魚）CPUE の作成及び標準化手法の改善により指標値が高くなったことが影響したと考えられている。加入量推定値は 1970 年代初頭以前には高い水準にあったが、1974 年以降、低い水準で推移している。2000 年以降における比較的高い加入は、2003 年、2005 年、2008 年、2017 年に起こっている。

近年（2018～2020 年の平均）の F は、 $F_{0.1}$ の 0.53 倍と推定され、現状は過剰漁獲ではないと判断された。また、近年（2012～2017 年）の平均的な加入量及び選択率を仮定し、2022 年から 2023 年までの短期的な将来予測を行った結果、現行の TAC を今後 2 年継続しても $F_{0.1}$ を上回る可能性は低いと推定された。

管理方策

SCRS は MSE の目的のために、資源評価で用いた解析モデルとは別に M3 (ICCAT 2022 Appendix 6) と呼ばれるオペレーティングモデル (OM) を開発した。M3 は、東西各海域に固有の産卵場所を有するタイセイヨウクロマグロ東西系群が西経 45 度の境を越えて回遊し、混合して漁獲される様子を表現している。これにより、一方の海域や系群の漁獲変動が、もう一方の海域や系群の資源量や漁獲に与える影響を計算できるようになった。M3 で使用するモデルパラメーターの設定 (コンディショニング) には、1965 年から 2019 年までの東西両海域の漁獲量や体長組成、各海域の資源評価で用いた 17 種類の資源量指数等、一般的な資源評価の入力データに加えて、耳石や遺伝情報から判別した漁獲物の系群組成並びに電子標識データから推定した四半期別の回遊データと整合するようパラメータが推定される。また、期間中の平均的な資源量の水準や加入のレジームシフト、西系群の成熟年齢等、既存の資源評価で不確実だとされていた要素に対して異なる条件を仮定した複数

のモデルで、可能性のある多様な本種の資源動態を計算し、それらの資源動態の様々な将来予測の下で設定された管理目標を達成するMPに、2022年11月のICCAT年次会合で合意した(ICCAT2023b)。このMPでは東西各海域5つずつの資源量指数の重みづけ平均を計算し、基準年と直近3年の指標の平均値の比率からTACが計算される。TACはMSEの評価で想定されていない例外的な状況が生じない限り、今後3年ごとにMPから算出された値に従って更新される。

2025年のSCRSでは、採択されたMPに基づき、2022年から2024年の資源量指数を用いて、2026年から2028年のTACが計算された。その一方で、2025年4月に開催されたSCRSクロマグロ魚種別作業部会において、西系群を対象とした近親標識再捕法(CKMR:Close-kin Mark Recapture)を用いて、2018年の西系群の8歳以上の資源量が約21,000トンと推定した結果が報告された。この結果は、MPの性能評価に用いたOMの仮定の内の1つである西側海域の平均的な資源量が低い仮定と矛盾しているとして、MPの適用における例外的な状況である可能性が指摘された。他方で、異なるOMの仮定である西系群の平均的な資源量が高い仮定とCKMRの結果は整合性が高く、CKMRの結果はOMの不確実性の幅の範囲内であることから、例外的状況には当たらないとの主張もあり、SCRSでは例外的な状況かどうかの総意が定まらなかった。2025年のICCAT年次会合では、SCRSが例外的な状況とは結論付けていないことから、現行のMPの通りに計算されたTACを参照し、例外的な状況の基準として定められているTACの120%まで増加させても問題ないとして、MPから計算された2,568トンを1.2倍した3,081.6トンを2026年から2028年のTACとして採択した。その内、日本の割当量は762.39トンである。

ICCATでは、TACによる総量規制に加えて、115cm(または30kg)未満の漁獲量制限(国別に漁獲量の10%未満とすること並びに小型魚から経済的利益を得ない方法を開始すること)、産卵場(メキシコ湾)における産卵親魚を対象とした操業の禁止及び漁獲証明制度が実施されている(ICCAT2023a)。さらに、2025年のICCAT年次会合で各国は操業計画を提出することが義務付けられた。

日本はタイセイヨウクロマグロを漁獲する自国はえ縄船に対して日別の漁獲数量、個体別重量及び放流・投棄量等の報告を義務付けていることから、漁獲した全個体の個体別重量等の漁獲データが得られるようになっている。さらに科学オブザーバーを乗船させ、詳細な操業データ、生物測定データ、耳石等の生物サンプルの収集を行っている(Japan2016)。これらの基礎的科学データは重要であり、日本のはえ縄CPUEは主要な資源量指数として重視されている。

執筆者

くろまぐろユニット

くろまぐろサブユニット

水産資源研究所 水産資源研究センター

広域性資源部 まぐろ第1グループ

塚原 洋平・福田 漢生

参考文献

- Aalto, A.E., Dedman, S., Stokesbury, M. J. W., Schallert, R. J., Castleton, M. and Block, B. A. 2023. Evidence of bluefin tuna (*Thunnus thynnus*) spawning in the Slope Sea region of the Northwest Atlantic from electronic tags. *ICES J. Mar. Sci.*, 80(4): 861-877.
- Ailloud, L.E., Lauretta, M.V., Hanke, A.R., Walter, J.R., Allman, R.J., Siskey, M.R., Secor, D.H., and Hoening, J.M. 2017. Improving growth estimates for Western Atlantic bluefin tuna using an integrated modeling approach. *Fish. Res.*, 191: 17-24.
- Block, B.A., Teo, S.L.H., Walli, A., Boustany, A., Stokesbury, M.J.W., Farwell, C.J., Weng, K.C., Dewar, H., and Williams, T.D. 2005. Electronic tagging and population structure of Atlantic bluefin tuna. *Nature*, 434: 1121-1127.
- Brophy, D., Ezpeleta, N.R., Fraile, I., and Arrizabalaga, H. 2020. Combining genetic markers with stable isotopes in otoliths reveals complexity in the stock structure of Atlantic bluefin tuna (*Thunnus Thynnus*). *Sci. Rep.*, 10: 14675. Doi: 10.1038/s41598-020-71355-6
- Chase, B.C. 2002. Differences in diet of Atlantic bluefin tuna (*Thunnus thynnus*) at five seasonal feeding grounds on the New England continental shelf. *Fish. Bull.*, 100: 168-180.
- Dickhut, R.M., Deshpande, A.D., Cincinelli, A., Cochran, M.A., Corsolini, S., Brill, R.W., Secor, D.H., and Graves, J.E. 2009. North Atlantic bluefin tuna population dynamics delineated by organochlorine tracers. *Environ. Sci. Technol.*, 43: 8522-8527.
- Eggleston, D.B., and Bochenek, E.A. 1990. Stomach contents and parasite infestation of school bluefin tuna *Thunnus thynnus* collected from the Middle Atlantic Bight, Virginia. *Fish. Bull.*, 88: 389-395.
- Golet, W.J., Nicholas, R.R., Lehuta, S., Lutcavage, M., Galuardi, B., Cooper, A.B., and Pershing, A.J. 2015. The paradox of the pelagics: why bluefin tuna can go hungry in a sea of plenty. *Mar. Ecol. Prog. Ser.*, 527: 181-192.
- Guinet, G., Domenici, P., de Stephanis, R., Barrett-Lennard, L., Ford, J.K.B., and Verborgh, P. 2007. Killer whale predation on bluefin tuna: exploring the hypothesis of the endurance-exhaustion technique. *Mar. Ecol. Prog. Ser.*, 347: 111-119.
- Hernandez, M. C., Richardson, E. M., Rypina, I. I., Chen, K., Marancik, E. K., Shulzitski, K., and Llopiz, K. J. 2021. Support for the Slope Sea as a major spawning ground for Atlantic bluefin tuna: evidence from larval abundance, growth rates, and particle-tracking simulations. *Can. J. Fish. Aquat. Sci.*, 79: 814-824.
- ICCAT 1981. Recommendation on bluefin management measure. [Rec. 81-1]. 3 pp.
<https://www.iccat.int/Documents/Recs/compendiopdf-e/1981-01-e.pdf> (2024年11月28日)
- ICCAT. 2002. ICCAT workshop on bluefin mixing.(SCRS/2001/20) Collect. Vol. Sci. Pap. ICCAT, 54(2): 261-352.

- ICCAT. 2003. Report of the 2002 Atlantic bluefin tuna stock assessment session.(SCRS/2002/12) Collect. Vol. Sci. Pap. ICCAT, 55(3): 710-937.
- ICCAT. 2011. Report for biennial period, 2010-11 PART I (2010) - Vol. 2. 265 pp.
- ICCAT. 2015. Report for biennial period, 2014-15 PART I (2014) - Vol. 1. 537 pp.
- ICCAT. 2017. Report for biennial period, 2016-17 PART II (2016) - Vol. 1. 369-374 pp.
- ICCAT. 2018. Report for biennial period, 2016-2017 part II (2017). - Vol. 2. 256-261 pp.
- ICCAT. 2022. Report for biennial period 2020-21 Part II (2021) Vol.2. 255 pp.
- ICCAT. 2023a. Report for biennial period 2022-2023 Part I (2022) - Vol. 1. 194-198 pp.
- ICCAT. 2023b. Report for biennial period 2022-2023 Part I (2022) - Vol. 1. 186-193 pp.
- ICCAT. 2025. Report of the standing committee on research and statistics (SCRS) (Hybrid/Madrid (Spain), 29 September - 3 October 2025). 327 pp.
https://www.iccat.int/Documents/Meetings/Docs/2025/REPORTS/2025_SCRS_ENG.pdf (2025年11月25日)
- Japan. 2016. Report of Japan's scientific observer program for tuna longline fishery in the Atlantic Ocean in the fishing years 2013 and 2014.(SCRS/2015/152) Collect. Vol. Sci. Pap. ICCAT, 72(8): 2328-2338.
- Knapp, J.M., Heinisch, G., Rosenfeld, H., and Lutcavage, M.E. 2013. New results on maturity status of western Atlantic bluefin tuna, *Thunnus thynnus*.(SCRS/2012/161) Collect. Vol. Sci. Pap. ICCAT, 69(2): 1005-1015.
- Logan, J.M., Rodríguez-Marín, E., Goñi, N., Barreiro, S., Arrizabalaga, H., Golet, W., and Lutcavage, M.E. 2011. Diet of young Atlantic bluefin tuna (*Thunnus thynnus*) in eastern and western Atlantic foraging grounds. Mar. Biol., 158: 73-85.
- Maguire, J.J., and Hurlbut, T.R. 1984. Bluefin tuna sex proportion at length in the Canadian samples 1974-1983.(SCRS/1983/84) Collect. Vol. Sci. Pap. ICCAT, 20(2): 341-346.
- Method, R.D., and Wetzel, C.R. 2013. Stock synthesis: A biological and statistical framework for fish stock assessment and fishery management, Fish. Res., 142: 86-99.
- Parrack, M., and Phares, P. 1979. Aspects of the growth of Atlantic bluefin tuna determined from markrecapture data.(SCRS/1978/37 Rev.) Collect. Vol. Sci. Pap. ICCAT, 8(2): 356-366.
- Porch, C.E. 2003. VPA-2BOX (Ver. 4.01). Assessment Program Documentation, ICCAT.
<http://www.iccat.int/en/AssessCatalog.htm> (2017年12月1日)
- Puncher, G.H., Hanke, A., Busawon, D., Sylvester E.V.A., Golet, W., Hamilton, L.C., and Pavey, S.A. 2021. Individual assignment of Atlantic bluefin tuna in the northwestern Atlantic Ocean using single nucleotide polymorphisms reveals an increasing proportion of migrants from the eastern Atlantic Ocean. Can. J. Fish. Aquat. Sci., 79: 111-123. Doi: 10.1139/cjfas-2020-0336
- Richardson, D.E., Marancik, K.E., Guyon, J.R., Lutcavage, M.E., Galuardi, B., Lam, C.H., Walsh, H.J., Wildes, S., Yates, D.A., and Hare, J.A. 2016. Discovery of a spawning ground reveals diverse migration strategies in Atlantic Bluefin tuna (*Thunnus thynnus*). PNAS, 113(12): 3299-3304.
- Rodríguez-Ezpeleta, N., Díaz-Arce, N., Walter, J., Richardson, E., Rooker, J., Nøttestad, L., Hanke, A., Franks, J., Deguara, S., Lauretta, M., Addis, P., Varela, J., Fraile, I., Goñi, N., Abid, N., Alemany, F., Oray, I., Quattro, J., Sow, F., Itoh, T., Karakulak, F., Pascual-Alayón, P., Santos, M., Tsukahara, Y., Lutcavage, M., Fromentin, J., and Arrizabalaga, H. 2019. Determining natal origin for improved management of Atlantic bluefin tuna. Front. Ecol. Environ., 17(8): 439-444.
- Rodríguez-Marin, E., Ortiz, M., Ortiz de Urbina, J.M., Quelle, P., Walter, J., Abid, N., Addis, P., Alot, E., Andrushchenko, I., Deguara, S., Di Natale, A., Gatt, M., Golet, W., Karakulak, S., Kimoto, A., Macias, D., Saber, S., Santos, M.N., and Zarrad, R. 2015. Atlantic Bluefin Tuna (*Thunnus thynnus*) Biometrics and Condition. PLoS ONE, 10(10): e0141478.
- Rodríguez-Roda, J. 1967. Fecundidad del atun, *Thunnus thynnus*(L.), de la costa sudatlantica de Espana. Invest. Pesq., 31: 35-52.
- Rooker, J., Fraile, I., Liu, H., Abid, N., Dance, M., Itoh, T., Kimoto, A., Tsukahara, Y., Rodríguez-Marin, E., and Arrizabalaga, H. 2019. Wide-ranging temporal variation in transoceanic movement and exchange of bluefin tuna in the North Atlantic Ocean. Front. Mar. Sci., 6: 398. Doi: 10.3389/fmars.2019.00398
- Tsukahara, Y., Walter, J., Fukuda, H., Kimoto, A., and Ortiz, M. 2021. Western Atlantic Bluefin Tuna stock assessment 1950-2020 using Stock synthesis: Part I. Model specification and input data. (SCRS/2021/140) Collect. Vol. Sci. Pap. ICCAT, 78(3): 734-755.

タイセイヨウクロマグロ（西大西洋）の資源の現況（要約表）

世界の漁獲量 (最近5年間)	2,207~2,961 トン 最近(2024)年: 2,961 トン 平均: 2,548 トン(2020~2024年)
我が国の漁獲量 ^{*1} (最近5年間)	408~703 トン 最近(2024)年: 703 トン 平均: 558 トン(2020~2024年)
資源評価の方法	ADAPT VPA 及び統合モデル SS3
資源の状態 (資源評価結果)	$F_{2018-2020}/F_{0.1} : 0.53$ 近年(2018~2020年)の漁獲死亡係数に従うと過剰漁獲ではない。
管理目標	資源量を MSY を達成できるレベルに維持し、 かつ、漁獲死亡係数を MSY を達成するレベル以下とする
管理措置	TAC : 3,081.6 トン(2026~2028年) (日本枠 : 762.39 トン) 115 cm (または 30 kg) 以下の魚の漁獲量制限(10%以下、国別)、漁場・漁期の制限(産卵場における産卵親魚の漁獲制限)、漁獲証明制度
管理機関・関係機関	ICCAT
最近の資源評価年	2021 年
次回の資源評価年	2026 年

*1 ICCAT(2025)に基づき暦年集計。